

昭和40年10月秋田県平鹿郡大雄村田根森 小学校に於て流行した発熱性疾患のウ イルス学的検索

—Adenovirus型の分離と血清診断—

秋田県立中央病院中央検査部微生物検査科

須 藤 恒 久
森 田 盛 大

秋田県衛生科学研究所

坂 本 昭 男
庄 司 キ ク

Adenovirus 3型感染症は主として夏期のプールでの水浴を感染源とし学校などに咽頭結膜炎として流行的に発生することが知られている。

我々は昨年秋に秋田県内の1農村にある小学校で、流行的に発生し、併せて無菌性髄膜炎を思わせる症状を示した発熱性疾患の検索を行ない、ウイルス学的に検索した重症例の90%からAdenovirus 3型を分離し、又、赤血球凝集反応(HAI)によって明らかに抗体上昇を証明して、本流行の原因はAdenovirus 3型によるものであることを確認し得た。

[I] 流行の概要

本小学校では同村にある他の二つの小学校とは互に2km以上離れて存在している。プールはないが、学校給食は行なわれている。在籍数は439名であり、流行をみた頃を中心とした1カ月間の同校の欠席率の推移を図に示したが、臨時休校を行なった10月9～13日を中心として欠席率が高くなっている。

校医が最初に本症と思わせる児童(No.88)(表1)を診療したのは9月27日であり、その約1週間後から急速に同症状を示す児童が多くなり、10月8日迄の間に発病した児童は95名(全校生徒の21.6%)を数え、最も流行した2学年の一学級では34名中16名(47.1%)が発病し

た。

罹患した児童は殆んど38°～40°Cの発熱と、甚しい頭痛を略必発の症状とし、嘔吐を伴うものも多く、腹痛や下痢を訴えるものもみられた。咽頭発赤或は扁頭腺の腫脹、又は膿栓を伴うものは少なかった。結膜炎症状を認めたものも僅かで、咳嗽は殆んど認められなかった。発熱は38°～40°Cの高熱が数日或は1週間に及ぶものもあり、ペニシリン、テトラサイクリン、及びクロラムフェニコールの効果は認められなかった。一部脱水症状を示し、アセント尿を認めたものもあった。腰椎穿刺は行なわれていないが、当時、県内にはECHO-4、ECHO-6型ウイルスによる無菌性髄膜炎の流行があり、本校では或は無菌性髄膜炎の流行ではなかろうか、という疑いのもとに県公衆衛生課に報告されたものである。

10月9日、罹患児童の検診を行ない、同日より13日迄休校とした。欠席児童は休校開けの後には高学年に多くなったが、10月20日以後次第に減少した。

[II] ウィルス学的検索

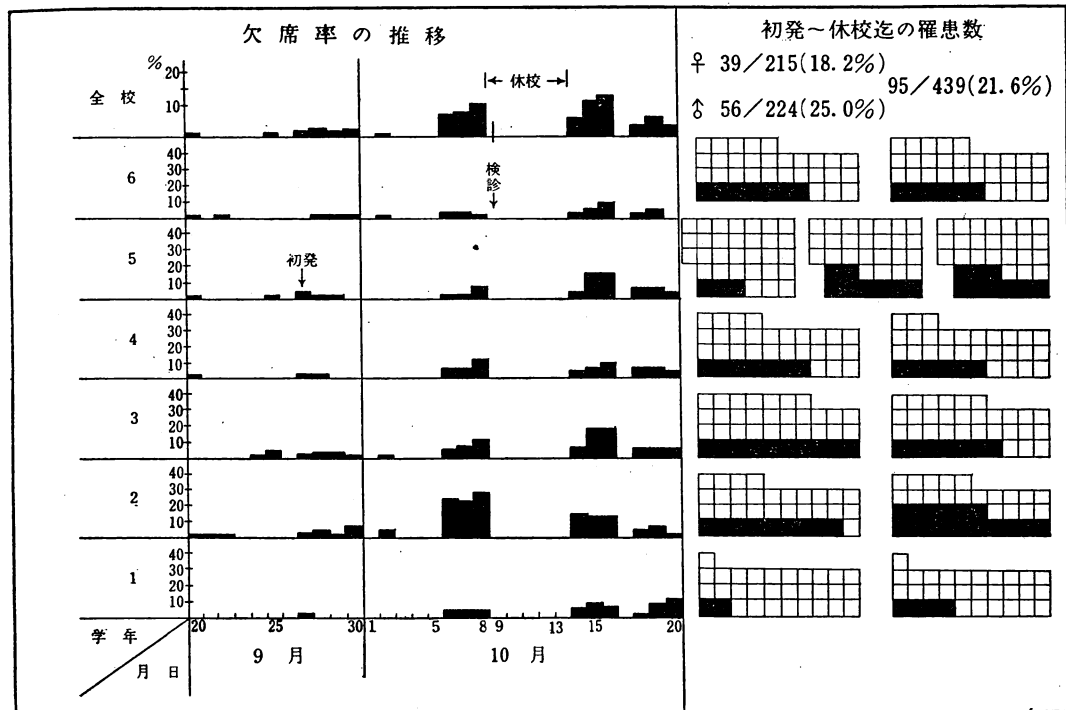
(1) 検索材料

検診時は疾患の初期にあり、しかも発熱しているものを主な対象として20症例よりウイルス分離材料として、咽頭ぬぐい液と糞便を採取した。(表1)

表 1 ウィルス学的に検索された26症例に於ける主要所見

症例番号	年性 令	ウイルス分離			血清診断 分離代表株-HAI		主要症状							
		病日	咽頭	糞便	急性期	病日	恢復期	発熱	頭痛	嘔吐	腹痛	咽頭	淋巴腺	結膜
82	7 女	2	+	+	<40(2)	640(2)	39.0	—	—	—	—	栓	+	
84	8 男	4	+	+	<40(4)	640(2)	39.5	++	—	—	+	栓		
85	8 女	3	+	+	<40(3)	160(2)	++	++	—	—	+			
86	9 女	7	+	+	<40(7)	640(2)	40.0	+	+	—	(下)	栓		
87	7 女	4	+	+	<40(4)	640(2)	++	++	—	—	—			
89	8 女	4	+	+	<40(4)	640(2)	+	—	—	—	—			+
90	8 男	6	+	+	<40(6)	320(2)	39.0	+	—	—	—		+	
93	7 男	4	+	+	<40(4)	160(2)	++	++	—	—	—			
96	6 男	3	+	+	<40(3)	160(2)	39.0	+	+	—	—		—	
97	7 女	3	+	+	<40(3)	320(2)	39.0	++	++	—	—		+	
98	8 女	2	+	+	<40(2)	160(2)	+	++	—	—	—	痛		
99	8 男	3	+	+	<40(3)	320(2)	39.0	—	—	—	—			
102	8 男	6	+	+	<40(6)	640(2)	39.5	+	++	—	—	痛		
95	7 男	7	+	+	—	—	—	+	++	—	—	—	—	
83	7 女	2	+	Enterov	<40(6)	640(2)	+	—	—	(下)	++			+
92	8 女	3	Herpes	+	<40(3)	320(2)	++	—	—	+	+			
101	7 女	6	—	+	<40(6)	320(2)	++	++	—	+	+	痛		+
91	8 女	2	+	—	<40(2)	640(2)	++	++	—	—	—	栓		
94	11 男	2	—	—	<40(2)	—	+	+	+	+	+		+	
88	10 女	13	—	—	320(13)	320(2)	+	+	—	—	—			+
100	8 女				<40(2)	160(2)	++	めまい	++	—	—			
103	11 女				<40(4)	320(2)	+	—	—	—	—			
106	11 男				<40(10)	320(2)	+	±	+	+	+			
105	10 女				<40(3)	<40(2)	—	±	—	—	—			
107	11 男				<40(3)	<40(2)	±	+	—	—	—			
107	11 男				<40(中)	<40(後)	無症状							

+ = Adenovirus type 3



咽頭ぬぐい液は 0.2% 牛血清アルブミン及び 0.5% ラクトアルブミン水解物を含むアール液にペニシリン 500 μ/ml 、ストレプトマイシン 500 γ/ml 及びナイシタチン 50 μ/ml を含む液に採取し、直ちにドライアイスで凍結した後、-70°C に保存した。

糞便は小ビンに採取してドライアイスで凍結後持ちかえり、実験室で、上記液で 10~20% の懸濁液とし、この遠心上清を -70°C に保存した。

血清診断にあてるべき血液は分離材料を採取した 20 名の他に、分離を行なわなかった 6 名より採取し -20°C に保存した。

(2) ウィルスの分離とその結果

ウィルス分離は型の如く Hep-2 細胞を用いて行なったが、接種後の維持液は 2% 獣血清を含む Eagle の Minimum Essential Medium、(MEM) を用いた。接種後、細胞は 33°C に静置又は廻転培養した。

ウィルス分離の材料を採取した 20 症例の咽頭ぬぐい液 18 件より 17 株、糞便 19 件より 17 株合計 34 株が分離された。(表 1, 2) その中、咽頭ぬぐい液より分離された 1 株は Herpes Simplex virus と推定され、糞便より分離された 1 株は Enterovirus の CPE を示したが、人

表 2 検体別ウイルス分離結果

	症 例 数	検 体	
		糞便	咽頭 拭液
被 検 数	20	19	18
Adeno-3 分離数	18	16	16
分離率 (%)	90.0	84.2	88.8

糞便	咽頭	例数
Adeno-3	Adeno-3	14
Adeno-3	Herpes	1
Enterov	Adeno-3	1
Adeno-3		1
	Adeno-3	1
小 計		18
-		1
-	-	1
計		20

血球による HA 及び中和試験により Coxsackievirus B 群ではなく、ECHO-6 型以外の人血球を凝集する Echovirus の一型と推定された。残る 32 株は全て Adenovirus に特有な CPE を示し、HAI 及び中和試験によりいずれも Adenovirus 3 型と同定された。即ち、20 症例中 18 症例 (90%) の咽頭ぬぐい液或は糞便のいずれかよ

り Adenovirus 3型が分離されたのである。

(3) 血清診断とその結果

ペア血清の得られた24症例について、アフリカミドリサル血球を用い、Adenovirus 3型と同定された分離株の代表株 "120" を抗原として赤血球凝集抑制抗体価を試験管法で測定した。

第3表に示す様に、ペア血清の得られた24症例中20症例にHAI抗体価の有意上昇を示し、Adenovirus 3型の感染が証明された。

表 3 ウィルス分離と血清抗体の推移

ウイルス分離	例数	対 Adeno-3 HAI抗体の推移		
		無→上昇	高値=高値	無=無
Adeno-3(+)	17	17	0	0
Adeno-3(-)	1	0	1	0
分離せず (軽症又は対照)	6	3	0	3
計	24	20	1	3

Adenovirus 3型が分離された症例では全例に抗体価の有意上昇を認めたが、発病より10日目に検診しウイルス分離も陰性に終った1例 No.88 では抗体価はペア血清間に抗体の動きが認められず、初めから高値を示した。

ウイルス分離を行なわれなかった6例中、比較的重症であったものの方は抗体の有意上昇をみとめこのウイルスに感染した発病であることが判り、軽い症状しか呈さなかつたもの及び無症状のものでは抗体の上昇がなく感染していないものと考えられた。

[II] まとめ

(1) 昭和40年10月、平鹿郡大雄村田根森小学校に流行した発熱性疾患のウィルス学的検索を行ない、ウィルスの分離を行なった例中18例(90%)より Adenovirus 3型を分離した。

(2) ペア血清を得られた24例について、アフリカミドリサル血球を用い、Adenovirus 3型を抗原としてHAIを行なった。その結果、Adenovirus が分離され、ペア血清の得られた17例は全例抗体価の有意上昇を認めた。また、血清診断のみを行なった6例中、比較的に重症であった3例には抗体価の有意上昇を認め、本ウイルスの感染によることを確かめたが、他の3例は抗体を有せば本流行の原因是 Adenovirus 3型であることを確認した。

尚、中和抗体価、Difron 处理による抗原を用い、Microtiter によるHAIも行なったが、その結果については別に報告の予定である。

稿を終るに当り、標準株ウイルス及び抗血清を分与された国立予防衛生研究所甲野、芦原両博士、又種々御便宜を下さった中央病院前多院長、中込部長、県衛生科学研究所児玉所長、藤沢科長、検体採取に御協力いただいた横手保健所江口所長以下の各位、田根森小学校渡辺校医に謝意を表する。

尚、本研究の要旨は昭和41年4月27日日本小兒科学会総会に於て発表した。

又、本研究に要した費用の一部は秋田県立中央病院医学研究費によった。

包装コンニャクから検出されたサルチル酸の所在について

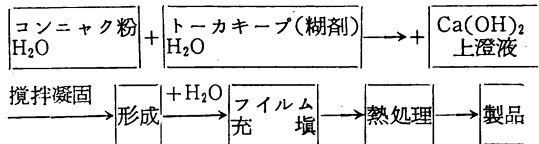
児玉栄一郎
斎藤ミキ

I 緒言

昭和40年7月全国一斉取締に際し、市販されている包装コンニャクの或る種類のものからサルチル酸が検出され、その含有量を測定したところ、9.2~20.6mg/kgであった。この混入サルチル酸の由来について追及を行なったところ、全く予期しなかったことがらによるものであることを見出したので、ここに報告する。

II 被検コンニャクの製造工程

問題の包装コンニャクの製造工程を示すと次のとおりである。



原料としては、コンニャク粉とトーカキープ（糊剤）で、これを水で練り合わせた上、消石灰の上澄液を加え、更に攪拌凝固せしめて形を作り、水と共にフィルムに充填して、約85°Cで45分間熱処理を行なったものである。

III 試験方法

検体5件についてしらべたところ、フィルム内液体のpHは8.8~11.6の範囲にあった。（簡易型硝子電極pH

測定器使用)

(1) 検液の調製法

検体のコンニャクは、これを細切し、水を加え、更に消石灰の上澄液を加えてアルカリ性とし、数時間振とう、室温に放置したのち汎過し、汎液に塩酸を加えて塩酸性とし、分液ロートに入れ、エーテルで抽出する。エーテル抽出液を少量の水で2回洗滌したのち、エーテルを蒸留除去し、その残留物について、試験を行なったものである。

(2) サルチル酸の定性反応

業者がコンニャク製造に用いていた原料及び包装フィルムについて、Table 1に示したとおり、コンニャク粉以下7種類の組み合わせのものにつき①検液の調製法に隨い、それぞれエーテル蒸発残留物を得、残留物について塩化第二鉄反応、残留物を熱湯に溶解した水溶液については、Jorissen反応、Millon-Lintner反応、及び臭素水滴加による呈色反応を行なったところ、検体①のコンニャク粉、②のトーカキープ、③の消石灰、並びに⑥のコンニャク粉にトーカキープと消石灰を混合したものでは、何れも反応が陰性であるが、検体④のフィルムに消石灰を加えたもの、⑤のコンニャク粉にフィルムと消石灰を加えたものは、何れも明らかな呈色陽性反応を示したものである。

Table 1 Color Reacton of the Materials and Packing Film.

Sample Reaction	① Konnayakuko H ₂ O + Ca(OH) ₂ (alkaline)	② Tokakiipu H ₂ O + Ca(OH) ₂ (alkaline)	③ CaO H ₂ O	④ Film H ₂ O + Ca(OH) ₂ (alkaline)	⑤ Konnayakuko + Tokakiipu H ₂ O + Ca(OH) ₂ (alkaline)	⑥ Konnayakuko + Film H ₂ O + Ca(OH) ₂ (alkaline)	⑦ Tokakiipu + Film H ₂ O + Ca(OH) ₂ (alkaline)
Fe Cl ₃	—	—	—	violet	—	violet	violet
Jorissen	—	—	—	red	—	red	red
Millon-Lintner	—	—	—	pink	—	pink	pink
Br. t. s.	—	—	—	white turbidity	—	white turbidity	white turbidity

(3) 溶出条件の追及

細切したフィルム 3g に水 100ml を加え、pH を数段階に調整したものについて、これを 1 時間振とうし、その後 6 日間室温に放置した場合(a)と、1 時間水浴中で加

熱し、その後 6 日間室温に放置した場合(b)と、更に単に水を加え、3 時間水浴中で加熱し、10 日間室温に放置した場合(c)の 3 つのグループに分けて検討を行なった。

Table 2 The Relation between PH and Heating

Sample Reactin	Film 3g + H ₂ O 100ml										(c) heating for 3 hr, then allow to stand for 10days H ₂ O	
	(a)					(b)						
	Shacking for 1 hr, then allow to stand for 6 days					Heating for 1 hr, then allow to stand for 6 days						
	PH 2.2	3.2	5.5	7.0	8.4	9.6	2.2	3.2	5.5	7.0	8.4	9.6
Fe Cl ₃	—	—	—	—	violet	violet	—	—	—	—	violet	violet
Jorissen	—	—	—	—	red	red	—	—	—	—	red	red
Millon～ Lintner	—	—	—	—	pink	pink	—	—	—	—	pink	pink
Br	—	—	—	—	Slight white turbidity	white turbidity	—	—	—	—	Slight white turbidity	white turbidity
NH ₄ OH Br. t.s	—	—	—	—	—	—	—	—	—	—	—	—

Table 2 に示すとおり、PH2.2～7.0においては(a), (b), (c)の場合、何れもサリチル酸の呈色反応は陰性であるが、PH8.4 及び 9.6 の場合は(a)(b)共に呈色反応が明らかに陽性を示した。

(4) ガスクロマトグラフィーによる検討

フィルムから溶出される物質について、更にこれを確

認するため行なったもので、装置は日立KGL-2B形を使用した。フィルムから抽出したエーテル蒸発残留物をジアゾメタンでメチル化し、サリチル酸メチルエステル標準試料と比較測定を行なった。その成績は、Fig.1.に示すとおり、溶出物質は標準試料と殆ど同じ地点に小さくながらピークを示した。

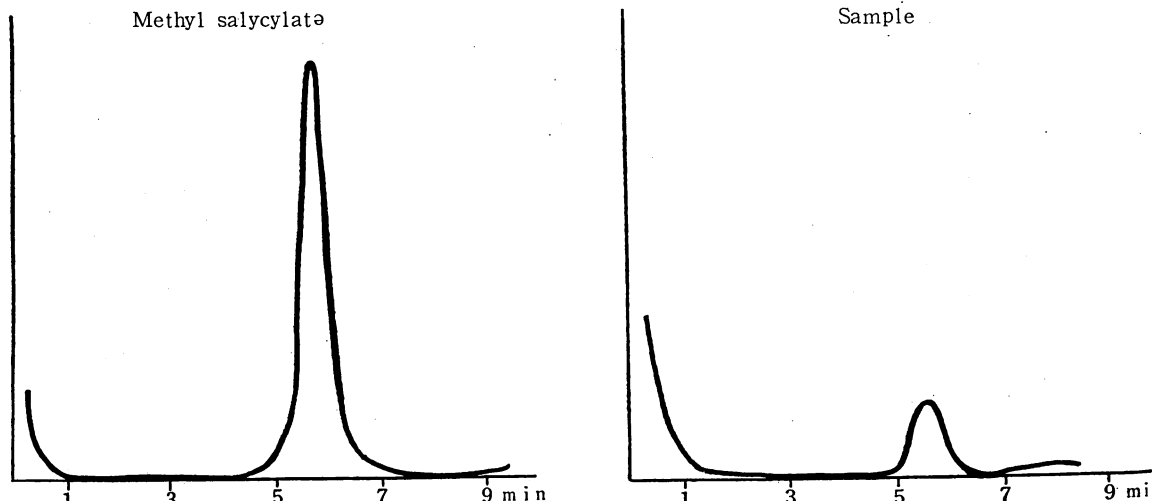


Fig 1 Control experiment on Gas-Chromatography of Methylated Sample with Diazomethan and Methylsalicylate.

Column : Apiezon grease L

Detect. Temp. : 220°C

Flow rate. : 55ml/min

(5) 赤外線吸収スペクトルによる成績

Fig 2. の上部Aは、フィルムから抽出したエーテル蒸発残留物と、サリチル酸標準試料と比較測定したものであり、下部Bの図は、ジアゾメタンでメチル化した検体と、サリチル酸メチルエステル標準試料との比較測定を

行なったものであるが、両者とも大体似かよった吸収スペクトルを示しているが、しかし標準試料と全く一致した成績は得られなかった。装置は日立赤外分光度計EPI-S形である。

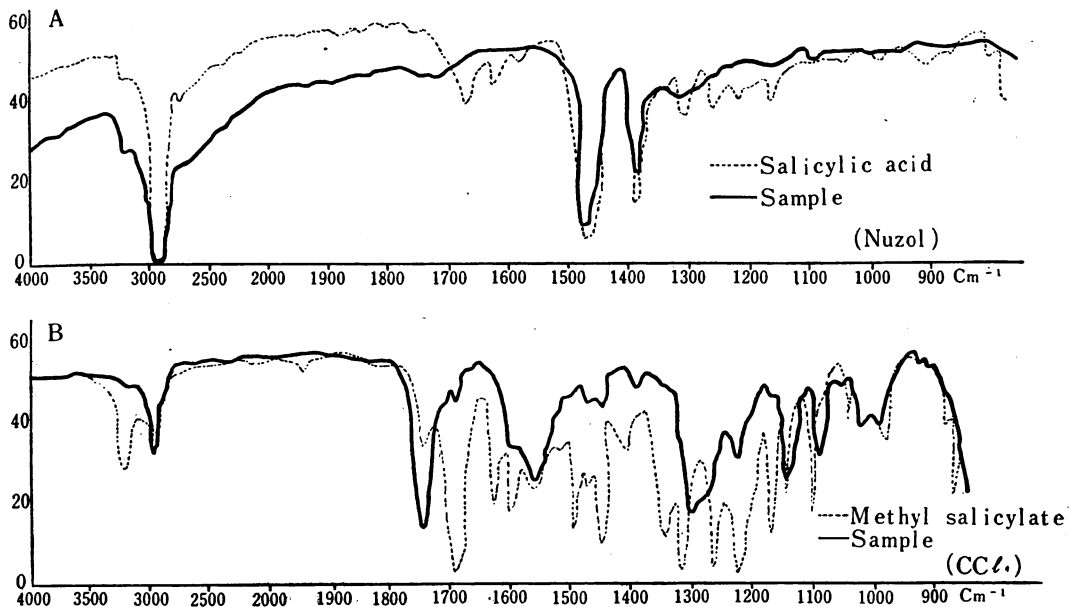


Fig 2-A Infrared Spectrum of the Sample and Salicylic Acid.

B Infrared Spectrum of Methylated Sample with Diazo methan and Methyl Salicylate

(6) 沔紙クロマトグラフィーによる成績

フィルムからエーテル抽出による蒸発残留物を試料として、上昇法により行なった成績は次のとおりである。
展開後 (1) 1%食塩水

(2) 水飽和ブタノール、エタノール(n-ブタノール5, エタノール1)

(3) 水飽和ブタノール

涙紙 (1) 東洋涙紙 No 50 40cm × 2cm

(2)(3) 東洋涙紙 No 51 40cm × 2cm

発色液 0.5% 塩化第二鉄試液

比較標準試料 サリチル酸

Rf 値は次のとおりである。

(1)の場合 0.67 (標準試料 0.67)

(2)の場合 0.44 (標準試料 0.44)

(3)の場合 0.42 (標準試料 0.42)

IV 試験結果および考察

以上実験の結果により、今回コンニャクから検出され

たサリチル酸は、コンニャク保存の目的で食品に添加使用されたものではなく、包装用フィルムから溶出されたものであると考えられる。このフィルムからの溶出は、熱処理と殆んど関係ないが、ただ溶媒がアルカリ性の場合において溶出されたものと推定される。またフィルムに混入されていてサリチル酸反応を陽性ならしめる物質は、抽出時におけるエーテル蒸発残留物の様状、並びに赤外線吸収スペクトルの状態から推測して、恐らく遊離のサリチル酸ではなく、サリチル酸の誘導体であろうと考えられることである。

食品衛生取締りに当り、原料の不純物、及び製造工程中における有害物の混入、或いは不正使用等に注意を払うことは勿論当然ではあるが、今回のように、全く予期しなかった或る種の包装用フィルムから、しかも或る条件のもとに溶出され、食品の中に迷入されたと見做される場合もあり得ると云うことは、食品衛生監視上、重要視すべき問題であり、今後食品に使用される包装用フィルムについても何等かの規制が必要ではないかと思われ

る次第である。

〔本資料は第10回日本食品衛生学会（昭和40年10月、東京）において発表した〕。

文 献

- 1) 厚生省編：第一版食品添加物公定書注解（1961）金原出版
- 2) 日本薬学会編：衛生試験法注解（1956）金原出版
- 3) 日本薬学会編：衛生試験法追加（1963）
- 4) 緒方章、野崎泰彦共編：化学実験操作法 統編(Ⅱ)
(1965) 南江堂
- 5) 石渡三郎：有機化学 改稿版上巻 p131 広川書店
- 6) 石坂、草味、中村、三橋：衛生化学および試験法
p156 (1963) 広川書店

亜硫酸ガスによる煙害調査について

秋田県衛生科学研究所

児玉栄一郎

斎藤ミキ

船木忠一

I はじめに

秋田県北部の小坂鉱業所附近にある山林の或る地域における林木が、以前より枯死し、または生育が不良であった。その原因は、銅、亜鉛等を製錬している小坂鉱業所の排煙によるものであると看做されていた。今回、この鉱業所から放出される排煙中の亜硫酸ガスが林木の生育状態に及ぼす影響を究明する目的で、この被害地域の大気中における亜硫酸ガスの測定調査を、秋田営林局から依頼されたので、その実施状況ならびに成績について報告する。

II 実施状況

(1) 測定地点の選定

秋田営林局の計画に基づき、煙源を中心として、東北東に7地点、西方に3地点、計10地点を選出した。その

縦断図を Fig 1 で示す。この Fig 1 に示された地点 No. 1 は煙源からの距離9.2km、標高600mの山頂で、10地点中もっとも遠く、且つ高い場所である。No. 2 は距離8.0km、標高360mの山麓のくぼ地であり、No. 3 は距離7.0km、標高580mの山頂、No. 4 は距離5.5km、標高500m山の中腹にある小峰、No. 5 は距離4.3km、標高400mの中腹、No. 6 は距離4.6km、標高380mの山麓で平坦地、No. 7 は距離4.2km、標高380mの中腹にある平坦地である。以上挙げた地点のうち No. 1～No. 7 は何れも煙源の東北東に位している。他方、煙源の西方にある地点 No. 8 は距離3.5km、標高380mの山頂で10地点中もっとも近い場所にある。No. 9, No. 10 は共に5.0kmの等距離の地点にあるが、前者は標高220m、谷間で、10地点中もっとも低い場所であり、後者は標高340mにある山の尾根である。

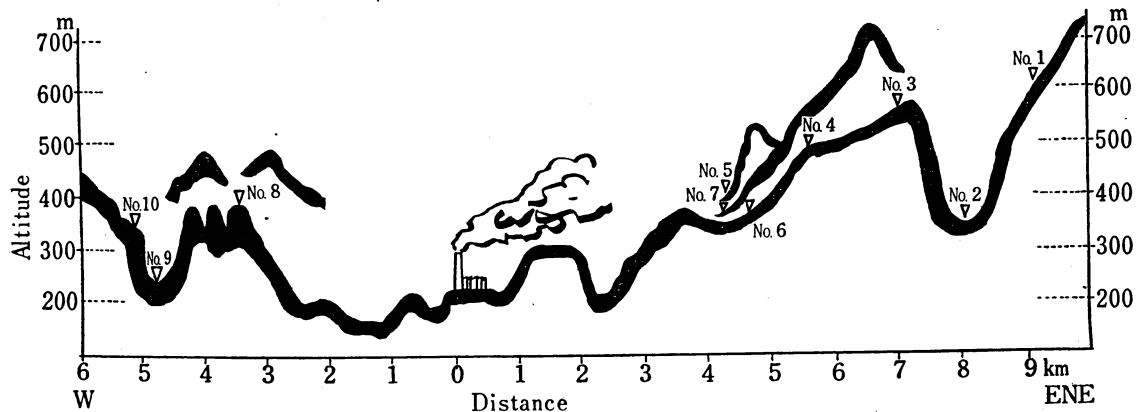


Fig 1

Intersection of Research Points

(2) 測定方法

もっとも自然の状態における測定法として二酸化鉛法を採用した。前記10地点に百葉箱を固定し、約1カ月間放置した二酸化鉛円筒について、クロラニル酸バリウム

法による比色定量を行なったもので、昭和14年5月から10月までの6カ月間継続測定した。設置の月別日数を Table 1 に示す。

Table 1 The Dates of Sampling.

Piece	May		Jun.		Jul.	
	Date and Time	No. of Days	Date and Time	No. of Days	Date and Time	No. of Days
1	4. 28. 11. 49～5. 31. 9. 36	32. 91	5. 31. 9. 36～7. 1. 13. 57	31. 18	7. 1. 13. 57～8. 2. 10. 07	31. 84
2	4. 28. 11. 27～5. 31. 10. 23	33. 00	5. 31. 10. 23～7. 1. 14. 48	31. 18	7. 1. 14. 48～8. 2. 18. 47	31. 83
3	4. 27. 13. 45～5. 31. 12. 55	33. 96	5. 31. 12. 55～7. 1. 16. 20	31. 14	7. 1. 16. 20～8. 2. 12. 02	31. 82
4	4. 27. 14. 35～5. 31. 12. 42	33. 96	5. 31. 13. 42～7. 1. 16. 58	31. 13	7. 1. 16. 58～8. 2. 12. 38	31. 82
5	4. 28. 15. 15～5. 31. 16. 27	33. 04	5. 31. 16. 27～7. 2. 10. 08	31. 75	7. 2. 10. 08～8. 2. 13. 55	31. 12
6	4. 27. 15. 10～5. 31. 14. 10	33. 96	5. 31. 14. 10～7. 2. 9. 13	31. 79	7. 2. 9. 13～8. 2. 13. 03	31. 16
7	4. 28. 14. 50～5. 31. 15. 55	33. 04	5. 31. 15. 55～7. 2. 9. 28	31. 69	7. 2. 9. 28～8. 2. 13. 19	31. 16
8	4. 28. 11. 00～5. 31. 16. 00	33. 21	5. 31. 16. 00～6. 29. 15. 05	28. 96	6. 29. 15. 05～7. 30. 14. 00	30. 96
9	4. 28. 11. 00～5. 31. 11. 00	33. 21	5. 31. 16. 00～6. 29. 15. 40	29. 00	6. 29. 15. 40～7. 30. 14. 15	30. 94
10	4. 28. 11. 00～5. 31. 11. 00	33. 21	5. 31. 16. 00～6. 29. 15. 25	28. 98	6. 29. 15. 25～7. 30. 14. 35	30. 97

(3) 気象観測

風向、風速、雨量、湿度、気温等については、小坂鉱業所にある気象観測所で、毎日3時、9時、15時、21時の4回に観測を行なった。風向、風速について、月別に取纏めたものを、Table 2に示す。この中、風向はFig 2によつても明らかなように、5月から10月までは殆ど西風で、その頻度は22.5%から35.4%の範囲を占めている。また西風の平均風速は、Table 3に示しているように9月に最低で、1.5m/sec、5月は最高で2.4m/sec、そして期間中の平均風速は2.1m/secである。雨量は10月が少く75.3mm、7月が最高で258.3mm、平均1カ月の雨量は131.0mmである。湿度についてみると、70.3%～85.9%の範囲であり、また期間中の平均気温は17.32°Cである。

Table 2 Direction and Velocity

Direction of Wind	May				Jun			
	Observation		Velocity		Observation		Velocity	
	No.	Ratio	Total	Average	No.	Ratio	Total	Average
S	4	3.2	2.6	0.6	3	2.5	9.7	3.2
SSE	—	—	—	—	1	0.8	1.4	1.4
SE	3	2.4	15.0	5.0	2	1.7	8.3	4.2
ESE	4	3.2	11.4	2.9	3	2.5	12.6	4.2
E	5	4.0	10.0	2.0	1	0.8	1.1	1.1
ENE	—	—	—	—	2	1.7	9.6	4.8
NE	6	4.9	22.9	3.8	2	1.7	5.8	2.9
NNE	3	2.4	5.8	1.9	4	3.3	9.0	2.3
N	—	—	—	—	2	1.7	3.7	1.9
NNW	5	4.0	9.2	1.8	3	2.5	3.7	1.2
NW	5	4.0	10.0	2.0	8	6.7	7.8	2.2
WNW	16	12.9	31.3	2.0	17	14.2	45.1	2.7
W	36	29.1	85.5	2.4	40	33.3	87.8	2.2
WSW	22	17.8	65.9	3.0	22	18.3	65.8	3.0
SW	15	12.1	77.3	5.2	7	5.8	30.4	4.3
SSW	—	—	—	—	1	0.8	3.3	3.3
Windless	—	—	—	—	2	1.7	0.0	0.0
Total	124	100.00	346.9		120	100.00	315.1	

Aug.		Sept.			Oct.		
Date and Time	No. of Days	Date and Time	No. of Days	Date and Time	No. of Days		
8. 2. 10. 07 ~ 8. 31. 10. 57	29.03	8. 31. 10. 57 ~ 9. 29. 8. 35	28.90	9. 29. 8. 35 ~ 11. 1. 14. 17	32.24		
8. 2. 10. 47 ~ 8. 31. 11. 35	29.03	8. 31. 11. 35 ~ 9. 29. 10. 20	28.95	9. 29. 10. 20 ~ 11. 2. 7. 35	32.89		
8. 2. 12. 02 ~ 8. 31. 14. 30	29.10	8. 31. 14. 30 ~ 9. 29. 13. 14	28.96	9. 29. 13. 14 ~ 11. 2. 8. 22	32.80		
8. 2. 12. 38 ~ 8. 31. 14. 58	29.10	8. 31. 14. 58 ~ 9. 29. 13. 43	28.95	9. 29. 13. 43 ~ 11. 2. 8. 53	32.80		
8. 2. 13. 55 ~ 8. 31. 16. 10	29.09	8. 31. 16. 10 ~ 9. 29. 14. 53	29.95	9. 29. 14. 53 ~ 11. 2. 10. 05	32.80		
8. 2. 13. 03 ~ 8. 31. 15. 23	29.10	8. 31. 15. 23 ~ 9. 29. 14. 06	28.95	9. 29. 14. 06 ~ 11. 2. 9. 15	32.80		
8. 2. 13. 19 ~ 8. 31. 15. 38	29.10	8. 31. 15. 38 ~ 9. 29. 14. 21	28.95	9. 29. 14. 21 ~ 11. 2. 9. 30	32.80		
7. 30. 14. 00 ~ 8. 31. 9. 40	31.82	8. 31. 9. 40 ~ 9. 30. 8. 40	29.96	9. 30. 8. 40 ~ 10. 30. 13. 25	30.20		
7. 30. 14. 15 ~ 8. 31. 11. 20	31.88	8. 31. 11. 20 ~ 9. 30. 12. 45	30.06	9. 30. 12. 45 ~ 10. 30. 11. 40	29.95		
7. 30. 14. 35 ~ 8. 31. 10. 40	31.83	8. 31. 10. 40 ~ 9. 30. 10. 15	29.98	9. 30. 10. 15 ~ 10. 30. 11. 25	30.04		

of Wind at Kosaka.

(Meteorological Observatory at Kosaka Mine)

Jul			Aug			Sep			Oct						
Observation	Velocity														
No.	Ratio	Total	Average	No.	Ratio	Total	Average	No.	Ratio	Total	Average	No.	Ratio	Total	Average
—	—	—	—	3	2.4	8.9	3.0	3	2.5	15.6	5.2	2	1.7	6.1	3.1
6	4.9	10.5	1.8	—	—	—	—	—	—	—	—	1	0.8	3.8	3.8
1	0.8	1.6	1.1	3	2.4	10.6	3.5	1	0.8	4.0	4.0	—	—	—	—
1	0.8	2.1	2.1	—	—	—	—	7	5.8	22.7	3.2	—	—	—	—
5	4.0	8.1	1.6	—	—	—	—	2	1.7	5.4	2.7	—	—	—	—
3	2.4	6.7	2.2	1	0.8	5.3	5.3	3	2.5	9.2	3.1	1	0.8	2.8	2.8
9	7.3	26.3	2.9	2	1.7	6.1	2.6	1	0.8	2.1	2.1	1	0.8	1.1	1.1
3	2.4	6.8	2.3	—	—	—	—	1	0.8	2.8	2.8	1	0.8	2.1	2.1
2	1.7	3.7	1.9	6	4.9	14.5	2.4	5	4.2	14.9	3.0	4	3.2	15.2	3.8
2	1.7	2.4	1.2	3	2.4	3.5	1.2	5	4.2	20.7	4.1	7	5.6	12.2	1.7
7	5.6	10.9	1.6	12	9.6	18.7	1.6	17	14.2	34.8	2.0	21	17.0	30.2	1.4
15	12.1	21.8	2.1	22	17.8	41.3	1.9	17	14.2	39.2	2.3	14	11.3	14.4	1.0
44	35.4	97.4	2.2	40	32.2	84.1	2.1	27	22.5	40.8	1.5	44	35.4	84.0	1.9
17	13.7	43.9	2.6	18	14.5	40.0	2.2	15	12.5	51.5	3.4	17	13.7	30.7	1.8
1	0.8	1.9	1.9	9	7.3	31.4	3.5	7	5.8	33.6	4.8	5	4.0	7.5	1.5
1	0.8	1.1	1.1	1	0.8	0.5	0.5	2	1.7	9.2	4.6	2	1.7	5.9	3.0
7	5.1	0.0	0.0	4	3.2	0.0	0.0	7	5.8	0.0	0.0	4	3.2	0.0	0.0
124	100.00	255.2		124	100.00			120	100.00	306.5		124	100.00	216.0	

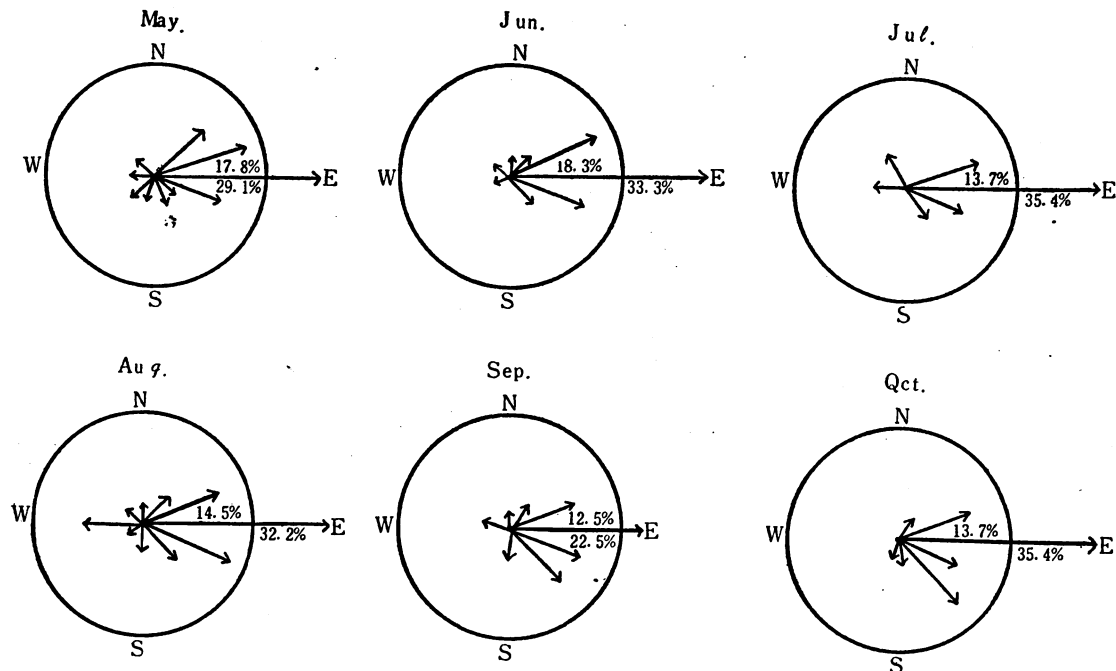


Fig 2 Direction of Wind at the Kosaka Mine

(Monthly ratio values observed four times a day at the Meteorological Observatory of Kosaka Mine)

Table 3 Meteorological Condition.

Monthiy	Rainfall (total) mm.	Humidity average	Atmose- mperature (average) °C	Average Velocity of Wind									
				E	ESE	ES	ENE	avelage	W	WSW	WS	SSW	average
May.	90.1	70.3	13.50	2.0	2.9	5.0	—	2.5	2.4	3.0	5.2	—	2.7
Jun.	75.5	75.1	18.25	1.1	4.2	4.2	4.8	3.6	2.2	3.0	4.3	3.3	3.3
Jul.	258.3	85.9	19.59	1.6	2.1	1.6	2.2	1.9	2.2	2.6	1.9	1.1	2.0
Aug.	80.1	80.3	23.32	—	—	3.5	5.3	2.2	2.1	2.2	3.5	0.5	2.1
Set.	206.9	81.1	18.56	2.7	3.2	4.0	3.1	3.2	1.5	3.4	4.8	4.6	3.6
Oct.	75.3	83.1	10.17	—	—	—	2.8	0.7	1.9	1.8	1.5	3.0	2.1
average	131.0	79.3	17.32	1.2	2.1	3.1	3.0	2.3	2.1	2.7	3.5	2.1	2.6

(4) 林木の生育状態調査

測定地点10カ所における林木（カラマツを主とし、その他クロマツ、アカマツ、スギ等）について、無煙害地3点カ所に植樹した林木を標準とし、樹高、根経、樹型、葉色、等につき生育状態の綿密な調査を営林局側で行なった。No. 1～No. 10地点におけるカラマツの平均生育状

態は、Table 4 に示しているとおり、生長率においてはNo. 9が最も良好で83%、最も悪いものはNo. 3の0%である。また樹型と葉色から判定された被害率は、もっとも少いものがNo. 9で、樹型では7%、葉色では3%である。何れも今後煙害がないものと仮定すれば蘇生する見込のある程度の被害である。併しNo. 3は生長の見込

がないか、または枯死したことが樹型や葉色からみても 100%であり、最も悪い生育状態を示している。

Table 4 The Present Status of the Forest Tree.

(From the Data of Akita Forestry Office)

Sampling point of Tree	Kind of Tree	Implantation Year	Research Number	Average Tree Height (m)	Average Rhizoma Size (cm)	Average Growth (cm)	Tree Type %			Leaf Cplour %		
							○	△	×	○	△	×
No. 1	larch	Autum 1958	30	2.38	4.7	25.9(49%)	70	23	7	40	53	7
No. 2	〃	Spring 1959 Autum 1955	30 20	1.69 7.88	2.7 12.5	30.6(58%)	70 90	27 5	3 5	73 95	20 0	7 5
No. 3	〃	Autum 1954	30	1.68	3.5	0	0	0	100	0	0	100
No. 4	〃	Autum 1955 spring 1959	28 20	3.52 1.94	6.1 3.3	7.2(23%) 17.6	21 45	18 25	61 30	0 0	32 35	68 65
No. 5	〃	Autum 1957	35	2.05	4.5	27.4(52%)	43	17	40	0	46	54
No. 6	〃	Spring 1960	30	1.17	2.3	13.1(25%)	43	17	40	0	40	60
No. 7	〃	Spring 1960	30	1.35	2.1	9.8(19%)	10	33	57	0	47	53
No. 8	〃	Autum 1961	23 20	0.76 2.90	1.3 4.7	6.3(13%) 6.8	13 15	52 55	35 30	0 35	30	70 35
No. 9	〃	Autum 1955	30	5.11	8.8	44.0(83%)	93	7	0	97	3	0
No. 10	〃	Autum 1955	30	6.57	7.8	18.0(34%)	67	33	0	70	30	0
standard	〃	Autum 1960 Spring 1955 Spring 1955	30 10 10	2.12 9.58 4.56	3.3 19.3 9.2	41.5 71.0 46.0	70 100 90	20 0 10	3 0 0	73 100 100	27 0 0	0 0 0

○.....No damage.

△.....If no smoke-injury occurred hereafter, it can be possible to grow as forest tree.

×.....Perhaps wither or impossible to grow up.

III 調査成績

(1) 亜硫酸濃度

No. 1～No. 10 地点における亜硫酸ガスの測定成績を Table 5 に示す。表中No. 1についてみると、9月が最も亜硫酸ガスの含有量が少く、1日当たり $PbO_2 100cm^2$ に対し $0.747mg$ であり、最大は10月の $1.347mg$ で Fig 3(A)によつてもわかるように、調査期間中の変動は少い。No. 2 は地点が谷間である関係上、No. 1 より濃度が低く且つ変動も少い。No. 3 は最少が7月の $0.545mg$ 、最大は10月の $2.379mg$ で、非常に差があり、気象条件に強く左右される場所であることが推定される。No. 4, No. 5についてみると、Fig 3(B)に示しているように、何れも8月

には最小値で、両者ともに $1.044mg$ であり、10月に最大値でそれぞれ $1.919mg$ および $2.242mg$ を示し、両地点の亜硫酸濃度は比較的似かよつた状態を現わしている。No. 6 は前者2地点同様に8月最少で $1.540mg$ であるが、7月には $3.240mg$ で、調査した成績中一番高い数値を示した。No. 7 は最少値が9月の $1.603mg$ 、最多多いのは7月の $2.507mg$ である。No. 3～No. 7 までは何れも月別変動が著しい。次に煙源を中心とし西方にある地点についてみると、Fig 3(C)に示しているように、No. 8 は、最少値が7月の $0.496mg$ 、最大値が10月の $2.052mg$ で、東風が比較的少い割に変動が激しいのは、煙源と、この地点の中間に障害物がなく気象条件に直接影響されるためと見做される。このNo. 8 とくらべてNo. 9 は地形上からみても煙源より標高が低く、その上、谷間である関係上、亜

硫酸の量が少く、最少値は7月の0.190mg、最大値は5月の0.633mgであって、その間の差は僅少である。No.10はNo.9と等距離にあるが、幾分高い場所である為にNo.9より変動があり、含有量も多くなって最小値は6月の0.547mg、最大値は9月の1.324mgである。

Table 5 Concentration of Sulfuric Oxide at 10 Sampling-Places.
(PbO₂ method)

Place	SO ₃ mg/day/100cm ² PbO ₂						Average
	May	Jun	Jul	Aug	Sept	Oct	
No. 1	1.112	0.893	0.853	0.873	0.747	1.347	9.971
No. 2	0.603	0.508	0.340	0.389	0.378	0.590	0.473
No. 3	1.528	2.099	0.545	1.347	1.315	2.379	1.536
No. 4	1.333	1.502	1.796	1.044	1.399	1.919	1.499
No. 5	1.876	1.990	2.090	1.044	1.486	2.242	1.788
No. 6	2.215	2.127	3.240	1.540	1.787	2.344	2.209
No. 7	2.207	1.909	2.507	1.951	1.603	2.449	2.104
No. 8	1.392	1.170	0.496	0.849	1.666	2.052	1.271
No. 9	0.633	0.191	0.190	0.218	0.343	0.247	0.304
No. 10	0.679	0.547	0.972	0.796	1.324	0.837	0.859

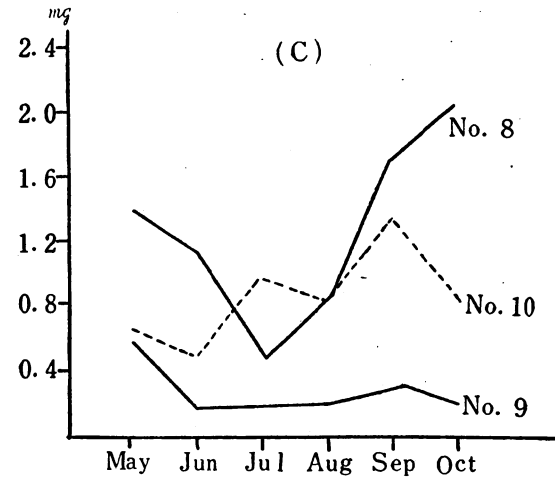
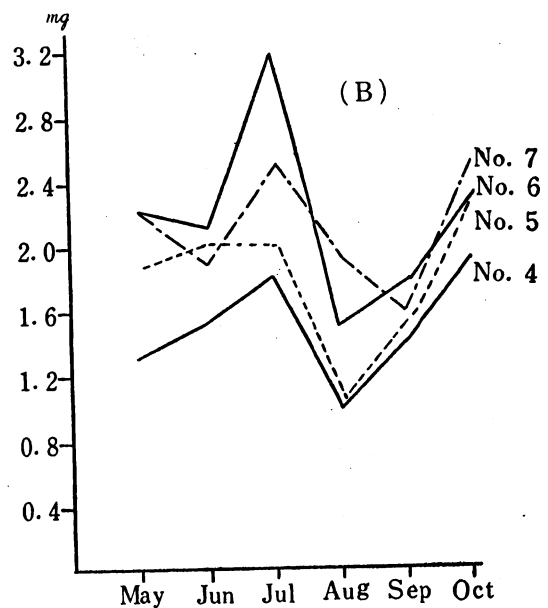
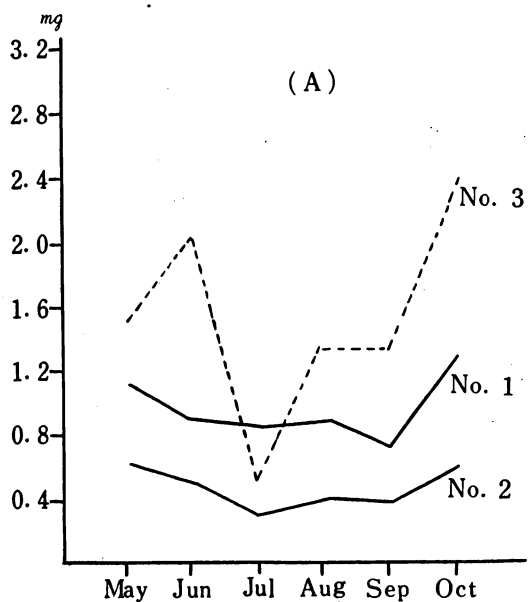


Fig 3 Monthly Sulfuric Oxide Concentration at the 10 Sampling Places.

(2) 亜硫酸濃度と林木の被害率

カラマツについて、枯死或いは見込のないもの(×)と、今後煙害を受けなければ林木として蘇生の可能性あるもの(△)との2種類に被害程度を分けて、樹型から判定した平均被害率と亜硫酸濃度の関係をFig 4(A)に示し、葉色から判定した平均被害率と亜硫酸濃度の関係を、Fig 4(B)に示した。大体カラマツの被害程度は、その地点に

における亜硫酸の濃度に影響されていることが解る。1カ所No. 3は平均亜硫酸濃度が $1.536\text{mg/day}/100\text{cm}^2\text{PbO}_2$ に対し、被害率は何れも100%を示し、他と比較して特異であるが、前掲Table 5の成績でも解るように、6月に 2.099mg 、10月に 2.379mg の相当強い亜硫酸濃度を示し、風向によっては煙に晒される状態が直接的であることに原因するものと考えられる。

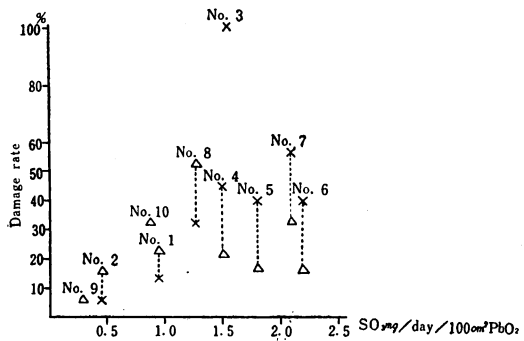


Fig 4 (A) Concentration of Sulfuric Oxide and Damage Rate to Larch by Tree Type.

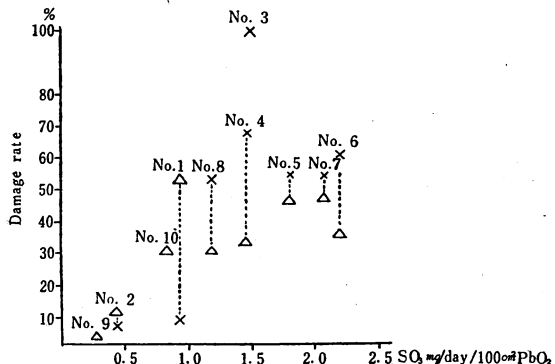


Fig 4 (B) Concentration of Sulfuric Oxide and Damage Rate to Larch by Leaf Colour.

△ If no smoke injury sustained hereafbr, it can be possible to grow as foreet tree.

× Perhaps wither or impossible to grow up.

たのであるが、この月における風向頻度は35.4%の西風で、6カ月間における最高のものであった。また期間中の亜硫酸濃度をみてもNo. 6は 2.209mg で、10地点中の最高の成績である。他方もっとも濃度の薄い地点は、煙源より西方にあるNo. 9で、この最低値は7月の 0.190mg 、6カ月間の平均濃度 0.304mg である。これ等の成績から考えられることは、平均風速約 2.1m/sec の西風が最も多く吹くこの地域は煙源から約 4.6km 東方に工場がある関係上工場排煙の影響を最も強く受けるのではないかと思われる。そしてその間に障害物がなく、煙源と等しい高さにある場所であったり、また更に背後に山などというより高い障害物を背負っている地点では最も亜硫酸濃度の高いことが解る。

更にFig 5に亜硫酸濃度とカラマツの樹型、葉色、生長から判定した被害率の関係を示したが、今回の調査では大体において約20%という被害率は、二酸化鉛法で約 $0.5\text{mg/day}/100\text{cm}^2\text{PbO}_2$ の亜硫酸濃度によるものであり、亜硫酸濃度が高くなるにつれ被害率も強くなっている。即ち亜硫酸による煙害は、その場所の地理的地形的状況と気象学的条件に左右されるものであると思われる。

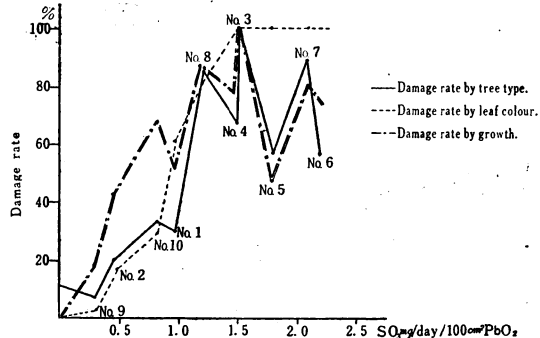


Fig 5 The Relation of Damage Rate onto Larch by Sulfuric Oxide Concentration at 10 Sampling Places.

文 献

- 1) 松井為三郎、小林曾太郎：衛生化学、11、4 (1965)
- 2) 日本空気清浄協会：空気清浄、3、3 (1965)
- 3) 神奈川県京浜工業地帯大気汚染防止対策技術小委員会：大気汚染調査研究報告、第8報、(昭40)
- 4) 英国理工学会研究局編：大気汚染測定法

IV 結果及び考察

以上今回の調査で、測定地点No. 1～No. 10までの場所の何れからも明らかに亜硫酸が検出された。その中No. 6は7月に、調査期間中の最高濃度 3.240mg を示し

陸水各種食品および土壤等の 放射能測定調査報告

(昭和40年4月～41年3月)

秋田県衛生科学研究所 斎藤ミキ

I はじめに

この報告は科学技術庁より、前年度に引き続き委託された放射能測定調査で、昭和40年度分を、とりまとめたものである。

II 調査計画

A 秋田県衛生科学研究所で測定したもの。

(種別)	(採取場所)	(年間数)	
上水(原水)	秋田市手形上丁大木屋浄水場	6	
魚貝類	鯛 男鹿市船川港	2	
	イナダ ハ	2	
	ホッケ ハ	2	
	マダラ ハタハタ	2 2	
農畜産物	鯉 秋田市添川字地の内	2	
	野菜 (キャベツ) ①秋田市川尻 ②南秋田郡琴浜村払戸字横長根	2 2	
	果実 (リンゴ) ①鹿角郡花輪町 ②平鹿郡平鹿町	2 2	
	米 (玄米) ①秋田市仁井田 ②本荘市薬師堂	2 2	
牛乳	秋田市牛島町	6	
土壤(草地)	秋田市金照寺山	2	
雨水	秋田市古川堀反町衛研構内 降雨毎		
B 分析化学研究所、理化学研究所、放射線医学総合研究所宛送付したもの。			
(種別)	(採取場所)	(年間数)	
上水(原水)	秋田市手形上丁大木屋浄水場	6	
牛乳(原乳)	秋田市牛島	6	

II 試料の調製および測定方法

試料の調製および測定方法は、科学技術庁編「放射能測定法」(1963年)により行ない、食品中のKはFlame Photometer(日立)により定量し、 ^{40}K による放射能の補正を行なった。送付試料の調製並びに送付については、次のとおりである。

上水。上水100mlに送付された一定のCarrier 100mlを加え、イオン交換樹脂に吸着させて送付。
(分析研究)

牛乳。牛乳3.6lを灰化し、灰化物を送付。(分析研究)
淡水魚。鯉4kgを3%ホルマリン水に入れて送付。
(放医研究)

淡水。淡水100mlに送付された一定のCarrier 100mlを加え、イオン交換樹脂に吸着させて送付。(放医研究)

土壤。条件に適した代表的草地の8地点を選定し、プラスチック製容器(径95mm深さ54mm)8個に採取し送付。(理研究)

雨水。一定の採水装置で採取した1カ月間の雨水ちりにCarrier 100mlを加え、イオン交換樹脂に吸着させて送付。(分析研究)

日常食品。都市成人、農村成人、農村子供に分け、それぞれ7人1日分(1日3食とし間食を含む)

を1試料として送付。(分析研究)

測定装置は次のとおりである。

計数装置 日立製 RDG-4A

計数管 理研製 B2N-613311

マイカ窓の厚さ 1.4 mg/cm^2

窓からの距離 約10mm

比較試料 U_3O_8 (雨水) KC1

試料皿の形状および材質。

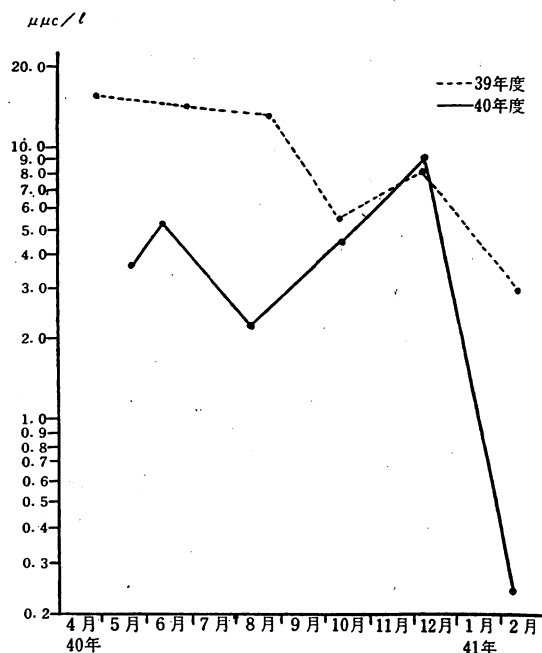
理研製ステンレススチール製、内径25mm、高さ6mm、

厚さ0.3mm

IV 測定成績

A 上水(原水)

沪過前の原水について、5月、6月、8月、10月、12月、2月の6回採水し測定したもので、その成績を第1表に示したが、高い放射能値は認められない。これを昨年度と比較したものが第1図である。但し採水地点は同じであるが、採水日が、ずれている為に正しい比較は出来ないが、2月に何れも低く、39年度は ℓ 当たり $3 \mu\text{mc}$ 、40年度は $0.24 \mu\text{mc}$ を示している。また最高値は12月の9.88 μmc であるが、昨年度と同様に問題となる成績はない。総体的に昨年度より更に低レベルを示したことは喜ばしい。



第1図 上水(原水)

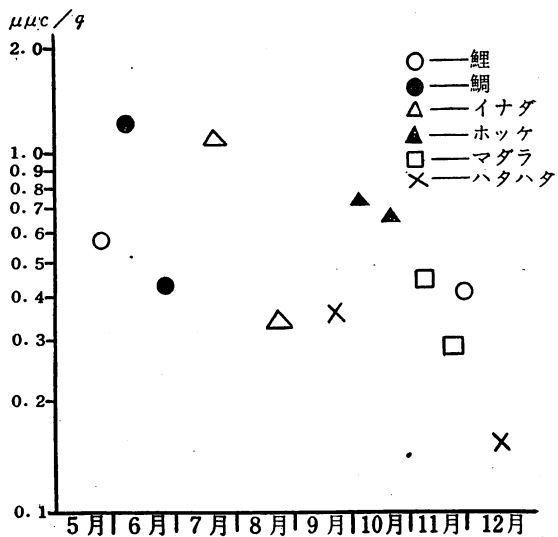
第1表

上水の放射能測定成績

試番 料号	採水地	採水部位	水温 °C	採水 年月日	測定 年月日	計数率 cpm			放射能 強度 $\mu\text{mc}/\ell$	蒸発 残留物 mg/ℓ	備考
						比較試料 (KC1)	自然計数率 cpm/ ℓ	試料計数率 cpm/ ℓ			
1	秋田市手形 大木屋淨水場	原水	11.0	40. 5. 19 10. 10 AM	40. 5. 19	4.8 ± 1.8 (41.5mg)	18.4 ± 0.9	1.1 ± 1.4	3.85	41.5	PH 6.8 AT 16.8
2	〃	〃	14.3	40. 6. 11 9. 50 AM	40. 6. 12	8.7 ± 1.1 (50.5mg)	17.7 ± 0.6	2.3 ± 1.0	5.41	50.5	PH 6.8 AT 22.7
3	〃	〃	20.0	40. 8. 9 2.30 PM	40. 8. 12	11.1 ± 1.1 (76.0mg)	17.1 ± 0.5	0.8 ± 0.9	2.22	76.0	PH 6.8 AT 16.8
4	〃	〃	14.7	40. 10. 7 1.30 PM	40. 10. 11	13.7 ± 1.3 (81.7mg)	22.5 ± 0.6	1.9 ± 1.1	4.59	81.7	PH 6.9 AT 17.5
5	〃	〃	3.2	40. 12. 8 2.50 PM	40. 12. 13	10.1 ± 1.1 (66.6mg)	17.7 ± 0.5	3.7 ± 1.0	9.88	66.6	PH 6.8 AT 2.5
6	〃	〃	0.7	41. 2. 7 3.50 PM	41. 2. 8	18.6 ± 1.2 (110.3mg)	18.5 ± 0.6	0.1 ± 1.0	0.24	110.3	PH AT 7.8

B 魚貝類 (第2表, 第2図)

男鹿市船川港で採集した鯛, イナダ, ホッケ, マダラ, ハタハタの5種類と, 秋田市添川で養殖している鯉との計6種類について, それぞれ2回宛採取し測定したものである。第2図によても明らかなように, 同一種類の魚でも採集月日により相当異った成績を示している。鯛は6月8日と27日に採集したものであるが, 生体1♂当たり $1.20\mu\text{mc}$ と $0.41\mu\text{mc}$, イナダは7月と8月に採取し $1.14\mu\text{mc}$ と $0.35\mu\text{mc}$, ホッケは10月7日と20日に採集し $0.76\mu\text{mc}$ と $0.66\mu\text{mc}$, マダラは11月13日と24日に採集し $0.45\mu\text{mc}$ と $0.29\mu\text{mc}$, ハタハタは9月と12月に採取し $0.36\mu\text{mc}$ と $0.15\mu\text{mc}$, 鯉は5月と12月に採取し $0.56\mu\text{mc}$ と $0.40\mu\text{mc}$ である。これ等2回の平均値を比べてみると, ハタハタが最少で $0.26\mu\text{mc}$, マダラ $0.37\mu\text{mc}$, 鯉が $0.48\mu\text{mc}$, ホッケが $0.71\mu\text{mc}$, イナダ $0.75\mu\text{mc}$, 鯛が $0.81\mu\text{mc}$ の成績である。



第2図 魚貝類

第2表

魚貝類の放射能測定成績

採集箇所	採集年月日	採集層 <i>m</i>	採集方法	種類及び部位	測定年月日	水分(生体) (当り%)	灰分(乾物) (当り%)	K(灰分中%)	比較試料計 率 cpm	自然 計 率 cpm	放射能強度		
											灰分 1 g 当 り μmc	生体 1 g 当 り μmc	
秋田市添川	40. 5. 25	66	養魚	鯉	40. 6. 12	70.67	3.36	27.38	53.2±1.6	17.7±0.6	35.5±1.5	57.09	0.56
男鹿市	40. 6. 8	底曳網	鯛	鯛	40. 6. 23	77.36	5.89	31.50	51.5±1.6	18.2±0.6	42.4±1.5	90.31	1.20
	40. 6. 27	45	大謀網	〃	40. 7. 6	80.75	6.98	29.40	50.2±1.6	17.4±0.5	33.0±1.4	30.78	0.41
	40. 7. 23	7	小型建網	イナダ	40. 8. 10	77.60	6.41	26.13	50.5±1.6	17.3±0.5	35.1±1.4	79.58	1.14
	40. 8. 23	10	〃	〃	40. 9. 11	76.15	6.57	25.14	49.1±1.6	19.8±0.6	26.2±1.3	22.27	0.35
	40. 9. 26	350	底曳網	ハタハタ	40. 10. 11	78.80	4.21	32.18	50.9±1.7	21.4±0.6	36.3±1.5	40.28	0.36
	40. 10. 7	300	〃	ホッケ	40. 10. 22	75.40	4.43	31.14	47.6±1.6	21.7±0.6	36.4±1.5	69.76	0.76
	40. 10. 20	250	〃	〃	40. 11. 12	79.40	5.69	26.86	53.4±1.6	17.6±0.5	34.3±1.4	53.09	0.66
	40. 11. 13	250	〃	マダラ	40. 11. 30	85.20	6.35	29.66	48.9±1.6	19.7±0.6	34.6±1.5	47.92	0.45
	40. 11. 24	180	〃	〃	40. 12. 6	84.28	7.16	29.66	50.3±1.6	19.9±0.6	31.9±1.4	26.56	0.29
秋田市添川	40. 12. 1	200	養魚	鯉	40. 12. 10	78.25	4.34	29.66	53.4±1.6	18.2±0.6	35.7±1.4	41.46	0.40
男鹿市	40. 12. 17	10	建網	ハタハタ	41. 1. 6	84.00	6.52	32.14	49.7±1.7	20.0±0.7	22.1±1.5	14.10	0.15

C 農畜産物

(a) 牛乳 (原乳)

同一場所から隔月毎に年6回採取し測定した成績であ

る。第3表に示しているとおり6回の成績は比較的一定し, 生体1g当たりの放射能値は41年1月採取したものが最少で $0.09\mu\text{mc}$ であり40年11月採取したものが最大値

$0.44\mu\text{mc}$ である。

(b) 野菜（キャベツ）

秋田市と南秋田郡との 2 カ所から 7 月と 10 月の 2 回それぞれ採取し測定したもので、生体当りの放射能値は $0.15\mu\text{mc} \sim 0.53\mu\text{mc}$ の範囲である。第 3 図に示したものは、2 カ所の平均値で、7 月には $0.38\mu\text{mc}$ 、10 月には $0.47\mu\text{mc}$ で、その間の差は僅少であるに過ぎない。

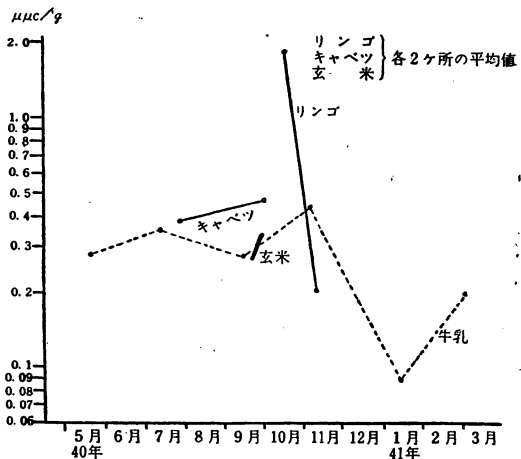
(c) 果実（リンゴ）

平鹿郡平鹿町と、鹿角郡花輪町の県南、県北の 2 カ所から各々 10 月と 11 月に採取し測定したものである。同一種類でないので正確には比較出来ないが、10 月採取したリンゴは平鹿町産が生体当り $1.17\mu\text{mc}$ 、花輪町産が $0.99\mu\text{mc}$ で、両者の平均値は $1.08\mu\text{mc}$ の成績である。11 月採取したリンゴは県南北共に $0.21\mu\text{mc}$ で、10 月採取したものより低い値を示した。

(d) 米（玄米）

本荘市と秋田市で生産された 2 カ所の早生米と晩生米について測定した成績を第 3 表に示した。早生米と晩生

米の収穫日数が約 10 日間位しか違っていない為か殆ど等しい成績で生体当り $0.22\mu\text{mc} \sim 0.35\mu\text{mc}$ の範囲を示している。



第 3 図 農畜産物

第 3 表

農畜産物の放射能測定成績

試料番号	種類	部位	採取場所	採取年月日	測定年月日	生体重量g	生体水分%	生体当り灰分%	K灰分中%	自然計率cpm	試料計率(含K)灰分500mg当りcpm	放射能強度(除K)灰分500mg当りcpm	生体当り μmc
1	牛 乳	原 乳	秋田市牛島	40. 5. 18	40. 5. 27	103.20	88.62	0.92	21.50	19.3 ± 0.6	25.6 ± 1.3	20.17	0.28
2	〃	〃	〃	40. 7. 13	40. 7. 30	103.10	89.44	0.71	22.50	18.0 ± 0.5	27.8 ± 1.4	24.44	0.35
3	〃	〃	〃	40. 9. 15	40. 9. 24	102.90	88.06	0.70	22.00	19.9 ± 0.6	26.6 ± 1.4	19.66	0.28
4	〃	〃	〃	40. 11. 2	40. 11. 22	103.00	88.71	0.69	20.00	17.6 ± 0.5	28.8 ± 1.4	32.23	0.44
5	〃	〃	〃	41. 1. 12	41. 1. 20	103.00	87.97	0.74	21.00	18.3 ± 0.6	21.4 ± 1.3	6.53	0.09
6	〃	〃	〃	41. 3. 1	41. 3. 10	103.30	87.18	0.73	19.00	17.5 ± 0.5	22.5 ± 1.4	13.47	0.20

1	キャベツ	葉	南秋田郡琴浜村	40. 7. 27	40. 8. 10	250.00	93.68	0.53	36.00	17.3 ± 0.5	47.2 ± 1.6	50.02	0.53
2	〃	〃	秋田市川尻	40. 7. 28	40. 8. 10	250.00	94.00	0.40	32.25	〃	35.6 ± 1.4	18.43	0.15
3	〃	〃	〃	40. 10. 2	40. 10. 11	250.00	94.40	0.48	38.32	21.4 ± 0.6	42.9 ± 1.6	46.54	0.45
4	〃	〃	南秋田郡琴浜村	40. 10. 4	40. 10. 18	250.00	92.12	0.76	36.56	21.6 ± 0.6	42.6 ± 1.6	32.00	0.49

1	リンゴ	紅玉	鹿角郡花輪町	40. 10. 15	40. 11. 4	250.00	85.60	0.21	33.83	21.0 ± 0.6	44.4 ± 1.6	47.77	0.99
2	〃	デリシャス	平鹿郡平鹿町	40. 10. 14	40. 11. 4	250.00	86.56	0.22	33.83	21.0 ± 0.6	45.4 ± 1.6	51.78	1.17
3	〃	国光	〃	40. 11. 8	40. 11. 30	500.00	85.40	0.26	39.67	19.7 ± 0.6	48.5 ± 1.6	40.74	0.21
4	〃	紅玉	鹿角郡花輪町	40. 11. 10	40. 11. 30	500.00	86.60	0.25	39.67	19.7 ± 0.6	48.9 ± 1.6	42.33	0.21

1	米 早生米	玄米 本荘市 薬師堂	40. 9. 15	41. 2. 4	100.00	12.20	1.35	18.44	18.7±0.6	20.5±1.3	8.08	0.22
2	〃	秋田市 仁井田	40. 9. 23	〃	100.00	13.07	1.26	18.44	〃	22.0±1.3	13.86	0.35
3	〃	玄米 晚生米 本荘市 薬師堂	40. 9. 25	〃	100.00	12.50	1.27	19.16	〃	22.4±1.3	12.32	0.31
4	〃	秋田市 仁井田	40. 10. 2	〃	100.00	13.19	1.21	19.16	〃	22.6±1.3	13.09	0.32

D 土 壤

出法で処理し測定した成績で、8月には乾燥試料 μmc 当り

同一場所（秋田市金照寺山）の草地を8月と10月の2

15.77 μmc 、10月には14.81 μmc で大差ない成績である。

回、同一方法（深さ5.3cm直径9.5cm）で採取し、塩酸抽

第4表 土壤の放射能測定成績

試料番号	採取年月日	採取箇所		採取方法	測定年月日	比較試料計数	自然物計数	沈殿灰化物500mg	沈殿灰化物重量g	乾燥試料20g当り	放射能強度mc/km ²	備考
		地名	種類									
1	40. 8. 11	秋田市 金照寺山	草地 0~ 5.3cm	9.5× 5.3cm	40. 9. 11	49.1±1.6	19.8±0.6	26.2±1.4	1.46	3.83	15.77	塩酸抽出法
2	40. 10. 23	〃	〃	〃	40. 11. 22	53.4±1.6	17.6±0.5	32.6±1.4	1.20	3.91	14.81	〃

E 雨 水

第5表の成績中、試料番号1および2を除き、9時から翌朝9時までの定時採水による1日間の雨水について測定したものである。5月20日～21日にかけて降った雨（降水量は3.6mm）からは12.01 $\mu\text{mc}/\text{ml}$ の強い放射能を検出し、今年度の最高値を示している。第4図によつて解るように5月14日中共で核実験が行なわれたのである

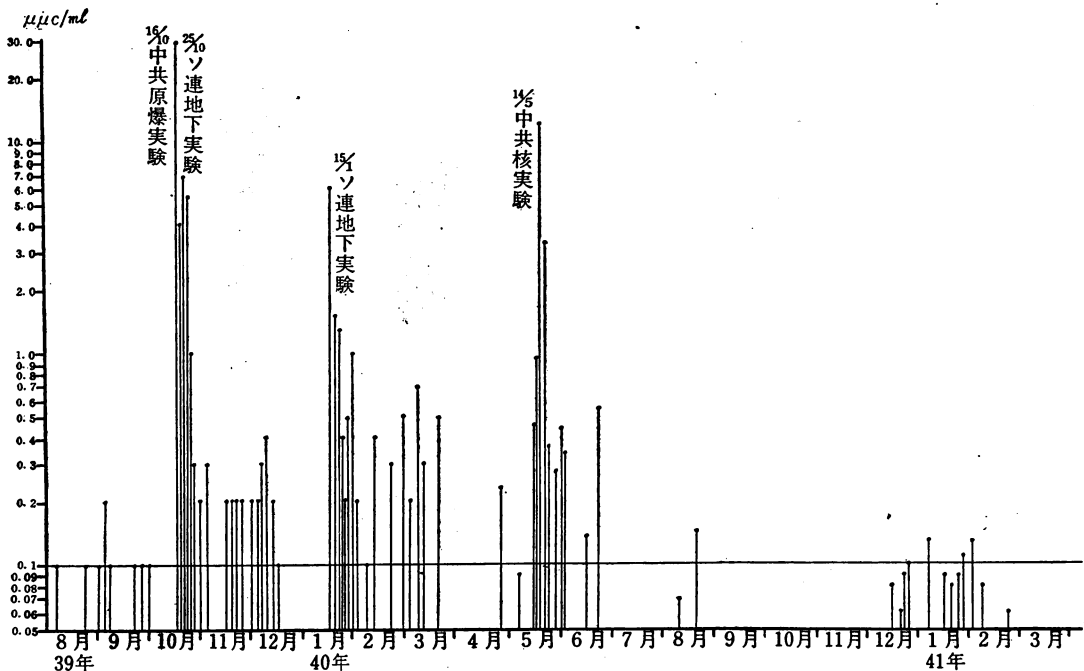
が、実験2日後の16日～17日に採水した雨は0.47 $\mu\text{mc}/\text{ml}$ 、4日後は0.95 $\mu\text{mc}/\text{ml}$ と平時より上昇し、6日後に12.01 $\mu\text{mc}/\text{ml}$ の最高を示し、7日後3.32 $\mu\text{mc}/\text{ml}$ と減少していく状態から推測し、これは明らかに中央で行なわれた核実験の影響であると考えられる。その後は殆ど問題にすべき強い放射能は検出されていない。

第5表 雨水の放射能測定成績

(昭和40年度)

試料番号	採水地	採水時間 月日時分 ～日時分	降水時間 日時分 ～日時分	降水量 mm	採水後測定までの時間 hr	試水量 ml	計 数 率 cpm				備考	
							比較試料 (除自然) 計数	自然計数	試料(除自然計数)			
									cpm/l	6時間 更正值 cpm/l	72時間 更正值 cpm/l	
1	秋田市 古川堀 反衛研	4. 21. 9. 00 ～5. 1. 9. 00	21. 9. 00 ～26. 13. 26	20.0	6.5	100	5036.6±22.5	24.4±0.7	86±15	84	64	0.23 4.60
2	〃	5. 1. 9. 00 ～11. 9. 00	3. 9. 41 ～10. 14. 20	32.9	6.0	100	5036.5±22.4	20.8±0.6	35±11	35	26	0.09 2.96
3	〃	5. 16. 9. 00 ～17. 9. 00	16. 20. 23 ～17. 7. 40	0.8	6.0	50	5057.0±22.5	19.7±0.6	166±26	176	36	0.47 0.38
4	〃	5. 18. 9. 00 ～19. 9. 00	19. 2. 00 ～19. 4. 00	1.2	6.0	100	5123.9±22.6	18.4±0.7	334±17	360	82	0.95 1.14
5	〃	5. 20. 9. 00 ～21. 9. 00	21. 0. 41 ～21. 8. 25	3.6	6.5	100	4967.1±22.3	19.9±0.7	4417±48	4420	2300	12.01 43.24
6	〃	5. 21. 9. 00 ～22. 9. 00	21. 9. 54 ～22. 8. 33	4.5	9.0	100	4974.1±22.4	19.8±0.6	1200±22	1220	820	3.32 14.94
7	〃	5. 26. 9. 00 ～27. 9. 00	27. 4. 53 ～27. 9. 00	3.8	7.0	100	5073.9±22.6	19.3±0.6	138±12	140	96	0.37 1.41
8	〃	5. 27. 9. 00 ～28. 9. 00	27. 9. 00 ～28. 7. 36	42.2	6.0	100	5067.3±22.6	17.7±0.5	20±10	20	19	0.05 2.11
9	〃	5. 30. 9. 00 ～31. 9. 00	31. 3. 48 ～31. 9. 00	2.3	6.0	100	5102.4±22.6	19.0±0.6	107±11	107	42	0.28 0.64
10	〃	6. 2. 9. 00 ～3. 9. 00	2. 9. 05 ～3. 8. 40	14.2	25.5	100	5040.5±22.5	18.9±0.6	162±12	165	160	0.44 6.25
11	〃	6. 3. 9. 00 ～4. 9. 00	4. 2. 30 ～4. 8. 30	2.8	6.0	100	5065.8±22.6	18.9±0.6	119±12	119	110	0.32 0.90
12	〃	6. 17. 9. 00 ～18. 9. 00	17. 20. 40 ～18. 5. 18	30.2	7.5	100	5117.3±22.6	17.1±0.5	52±10	53	36	0.14 4.23

13	秋田市 吉川堀 反衛研	6. 24. 9. 00 ～25. 9. 00	24. 9. 00 ～25. 2. 40	3. 0	6. 0	100	5096. 5±22. 6	17.2±0.5	208±12	210	180	0. 56	1. 68	
14	〃	6. 29. 9. 00 ～30. 9. 00	30. 2. 43 ～30. 6. 25	14. 0	7. 6	100	5051. 0±22. 5	17.8±0.5	0± 9	0	0	0	0	
15	〃	7. 5. 9. 00 ～6. 9. 00	5. 9. 00 ～6. 9. 00	18. 0	6. 5	100	5081. 4±22. 6	18.3±0.6	2±10	2	0	0. 01	0. 18	
16	〃	7. 14. 9. 00 ～15. 9. 00	14. 8. 00 ～15. 9. 00	85. 0	6. 0	100	5058. 3±22. 5	17.9±0.5	11±10	11	9	0. 03	2. 55	
17	〃	8. 9. 9. 00 ～10. 9. 00	10. 5. 45 ～10. 9. 00	1. 1	6. 0	100	5161. 8±22. 7	17.8±0.5	28±11	28	18	0. 07	0. 08	
18	〃	8. 11. 9. 00 ～12. 9. 00	11. 20. 15 ～12. 7. 30	26. 8	6. 0	100	4987. 9±22. 3	17.3±0.5	14± 9	14	10	0. 04	1. 07	
19	〃	8. 24. 9. 00 ～25. 9. 00	25. 3. 30 ～25. 8. 10	2. 2	26. 5	100	5064. 5±22. 5	18.5±0.6	47±10	58	30	0. 15	0. 48	
20	〃	9. 2. 9. 00 ～3. 9. 00	2. 13. 02 ～3. 5. 30	3. 5	7. 0	100	5020. 1±22. 4	18.9±0.6	8±10	8	1	0. 02	0. 07	
21	〃	9. 13. 9. 00 ～14. 9. 00	14. 1. 59 ～14. 9. 00	9. 3	6. 0	100	5000. 3±22. 4	19.8±0.6	1±10	1	0	0	0	
22	〃	9. 16. 9. 00 ～17. 9. 00	16. 18. 45 ～17. 8. 10	30. 6	6. 0	100	5103. 8±22. 6	20.2±0.6	0±10	0	0	0	0	
23	〃	10. 7. 9. 00 ～8. 9. 00	7. 13. 45 ～8. 7. 10	3. 6	6. 5	100	5066. 7±22. 5	21.2±0.6	0±10	0	0	0	0	
24	〃	10. 13. 9. 00 ～14. 9. 00	14. 2. 40 ～14. 9. 00	1. 1	24. 8	100	5051. 5±22. 4	21.8±0.6	12± 9	12	12	0. 03	0. 03	
25	〃	10. 20. 9. 00 ～21. 9. 00	21. 5. 40 ～21. 7. 10	4. 2	5. 5	100	5103. 4±22. 6	21.7±0.6	5±10	5	3	0. 01	0. 04	
26	〃	11. 2. 9. 00 ～3. 9. 00	2. 17. 43 ～2. 23. 20	24. 0	32. 5	100	4979. 7±22. 3	21.0±0.6	2±10	3	1	0. 01	0. 24	
27	〃	11. 26. 9. 00 ～27. 9. 00	26. 13. 34 ～27. 9. 00	8. 9	23. 5	100	5092. 3±22. 5	18.1±0.6	9±10	11	3	0. 03	0. 27	雨雪 混合
28	〃	11. 29. 9. 00 ～30. 9. 00	29. 14. 13 ～30. 6. 47	12. 8	25. 0	100	5152. 3±22. 1	18.9±0.6	3±10	3	2	0. 01	0. 13	
29	〃	12. 6. 9. 00 ～7. 9. 00	6. 9. 00 ～7. 9. 00	3. 3	24. 5	100	5131. 2±22. 7	18.6±0.6	1±10	1	1	0. 00	0. 00	雪
30	〃	12. 14. 9. 00 ～15. 9. 00	14. 18. 00 ～15. 8. 30	18. 6	6. 0	100	5057. 0±22. 5	18.6±0.6	29±10	29	29	0. 08	1. 49	雨 雪 混合
31	〃	12. 20. 9. 00 ～21. 9. 00	20. 9. 00 ～20. 23. 00	5. 0	28. 0	100	5054. 6±22. 5	18.5±0.6	22±10	23	20	0. 06	0. 30	雨
32	〃	12. 22. 9. 00 ～23. 9. 00	23. 7. 16 ～23. 9. 00	0. 9	25. 5	100	5139. 6±22. 7	18.6±0.6	32±10	34	28	0. 09	0. 08	雨
33	〃	12. 23. 9. 00 ～24. 9. 00	23. 9. 00 ～24. 9. 00	18. 7	6. 0	100	5139. 6±22. 7	18.6±0.6	39±10	39	18	0. 10	1. 87	雨, 霰
34	〃	41. 1. 6. 9. 00 ～7. 9. 00	6. 14. 49 ～7. 7. 46	12. 0	5. 2	100	5144. 7±22. 7	18.5±0.6	52±11	51	15	0. 13	1. 55	雨, 雪
35	〃	1. 13. 9. 00 ～14. 9. 00	13. 20. 40 ～14. 9. 00	7. 2	6. 5	100	5128. 1±22. 7	19.8±0.6	35±10	35	35	0. 09	0. 65	雨, 霰
36	〃	1. 18. 9. 00 ～19. 9. 00	18. 9. 00 ～19. 9. 00	5. 3	30. 0	100	5086. 9±22. 6	18.3±0.6	30±10	32	28	0. 08	0. 42	雪
37	〃	1. 24. 9. 00 ～25. 9. 00	24. 9. 00 ～25. 9. 00	2. 9	6. 3	100	4950. 0±22. 3	19.6±0.6	34±10	34	26	0. 09	0. 26	雪
38	〃	1. 27. 9. 00 ～28. 9. 00	27. 9. 00 ～28. 9. 00	4. 7	6. 0	100	5033. 9±22. 5	19.5±0.6	40±11	40	6	0. 11	0. 52	雪
39	〃	2. 1. 9. 00 ～2. 9. 00	1. 9. 00 ～2. 5. 45	5. 7	6. 0	100	5056. 8±22. 5	18.5±0.6	49±10	50	40	0. 13	0. 74	雨, 雪
40	〃	2. 7. 9. 00 ～8. 9. 00	7. 9. 28 ～8. 9. 00	2. 6	6. 0	100	5118. 4±22. 6	18.5±0.6	38±10	38	30	0. 08	0. 21	雪
41	〃	2. 15. 9. 00 ～16. 9. 00	15. 9. 00 ～16. 9. 00	3. 5	26. 0	100	5126. 2±22. 6	18.6±0.6	12±10	13	9	0. 03	0. 11	雪
42	〃	2. 17. 9. 00 ～18. 9. 00	17. 9. 00 ～18. 9. 00	3. 7	48. 0	100	5126. 2±22. 6	18.6±0.6	14±10	17	13	0. 04	0. 15	雪
43	〃	2. 22. 9. 00 ～23. 9. 00	22. 9. 00 ～23. 9. 00	13. 6	7. 0	100	5153. 8±22. 7	19.0±0.6	34±10	36	21	0. 06	0. 82	雨, 雪
44	〃	3. 16. 9. 00 ～17. 9. 00	16. 9. 00 ～17. 8. 55	5. 4	6. 0	100	5112. 5±22. 6	18.3±0.6	11±10	11	9	0. 03	0. 16	
45	〃	3. 20. 9. 00 ～21. 9. 00	20. 9. 00 ～21. 9. 00	0. 8	29. 0	100	5173. 9±22. 8	18.1±0.5	67±11	72	56	0. 19	0. 15	雨, 雪



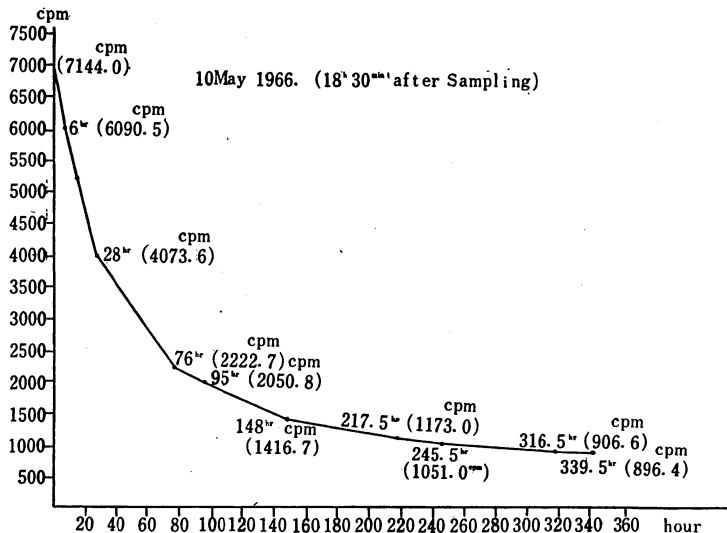
第4図 雨水（9時～9時採水）の放射能値（6時間更生値）

F チリ（巨大粒子）

5月14日中央で行なわれた核実験3日後の17日、当衛

研屋上一帯 ($8473m^2$) をサーベイメーターで深索したところ、比較的強く反応を示した個所が11カ所あった。

この11地点のチリを採取し（1地点における採取したチリの範囲は径約3 cmである）混合した0.9189gのチリについて測定したのであるが、採取後18時30分経過した第1回測定時には7144.0cpm (190/3 $\mu\mu c/0.9189g$) の強い放射能を示した。これは降下塵埃中に核爆発で生じた強放射能粒子が混在したものであると考えられる。このチリについて、時間的減衰状態を観察した成績を第5図に示した。7144.0 cpmの放射能は第1回測定期から28時間経過後には4073.6cpmと比較的急激な減少を示したが、76時間後には2222.7cpm、148時間後には1416.7cpmと次第に緩やかなカーブを示し、339.5時間後に測定した放射能は896.4cpmという成績であった。



第5図 Timely Variation of gross β -Actiity obtained from the Dry Fallout.

Sampling Date. 17 May 1966, 16h30min～17h30min

V 前年度との比較

第6図に昭和37年度から昭和40年度における年度別の概略的成績を示した。

上水は何れの年度も、年間6回測定の平均値であるが、39年度の $10.1\mu\text{mc}/l$ に比し、40年度は $4.5\mu\text{mc}/l$ と過去4年間を通じ最も低い成績を示している。

牛乳は毎年その採取場所を異にしているので、正確に比較は出来ないが、年間6回測定の平均値は、前年度の $26.5\mu\text{mc}/500\text{mg ash}$ に対して40年度は $19.4\mu\text{mc}/500\text{mg ash}$ と低く、上水と同様に4年間における最も低い成績である。

果実は県内の北部と南部産のリンゴについて比較したものであるが、灰分 500mg における放射能値は、39年度が $39.0\mu\text{mc}$ 、40年度は $45.6\mu\text{mc}$ で、前年度より幾分高い成績である。しかし品種やリンゴの生育状態など色々なFactor が成績に影響される事は当然で、この場合における僅少の差は問題にならないと考えられる。

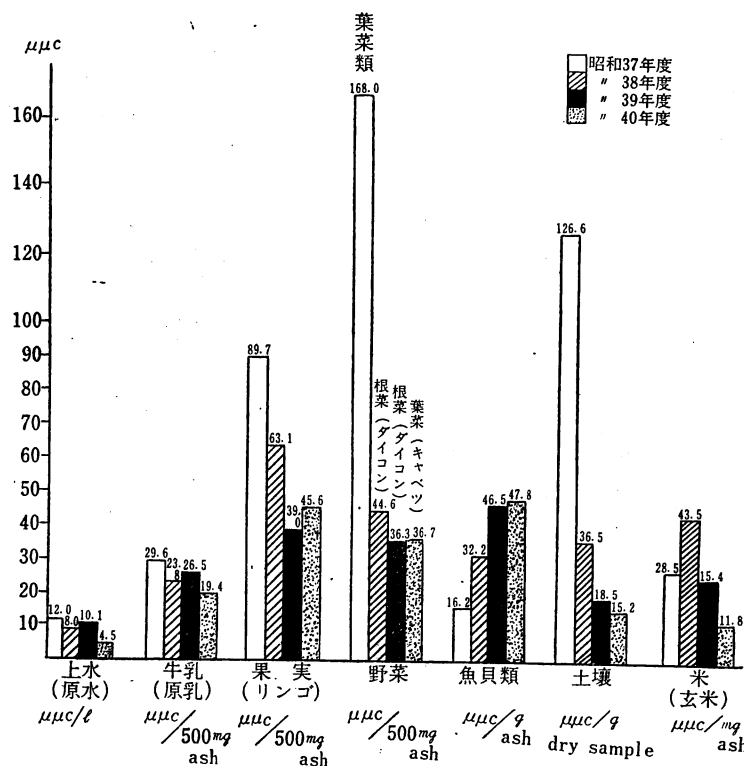
野菜は根菜類と葉菜類とで Falloutによる直接的影響の点では、かなりの相違があるものと考えられるが、39年度は根菜類(ダイコン)で、灰分 500mg 当り $36.3\mu\text{mc}$ 、

40年度は葉菜類(キャベツ)で $36.7\mu\text{mc}$ の成績を示し、殆ど等しい。むしろ Falloutによる直接的影響という点から考えると、放射能汚染は大分低下しているものと推定される。

魚貝類は、その種類、採集時期が一定でない為これを比較する事は適切でないが、昭和37年度が生体 δ 当り $16.2\mu\text{mc}$ 、38年度 $32.2\mu\text{mc}$ 、39年度 $46.5\mu\text{mc}$ 、40年度 $47.8\mu\text{mc}$ と他のものとは逆に、年々放射能値が高くなっている。この現象は一応海水の汚染と云う事が考えられるもので、今後の注目すべき問題ではないかと思われる。

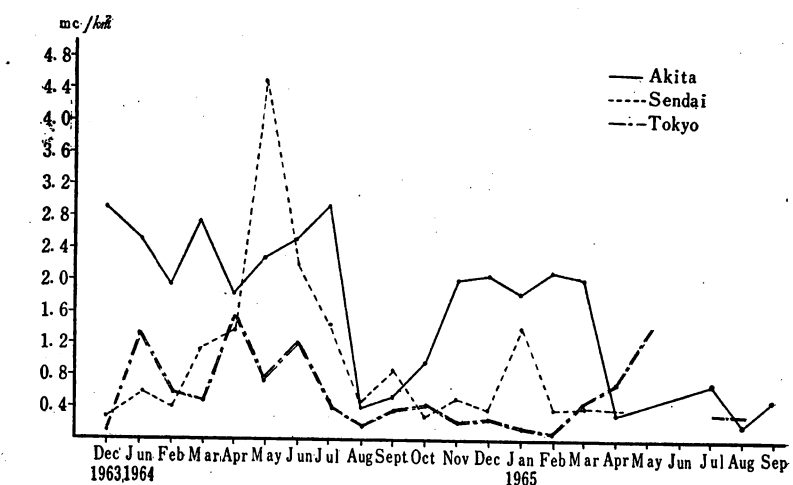
土壤は、乾燥試料 δ 当りの平均成績が、37年度 $126.6\mu\text{mc}$ 、38年度 $36.5\mu\text{mc}$ 、39年度 $18.5\mu\text{mc}$ 、40年度 $15.2\mu\text{mc}$ と次第に減少している。殊に39年度と40年度は同一場所で採取し、何れも草地を選定しているのであるが、40年度が更に低い成績を示している事は喜ばしい次第である。

米について、39年度と同一場所で生産された玄米について測定したものであるが、39年度は灰分 500mg 当り $15.4\mu\text{mc}$ に対し、40年度は $11.8\mu\text{mc}$ で、米の放射能値は矢張低下の状態を示している。



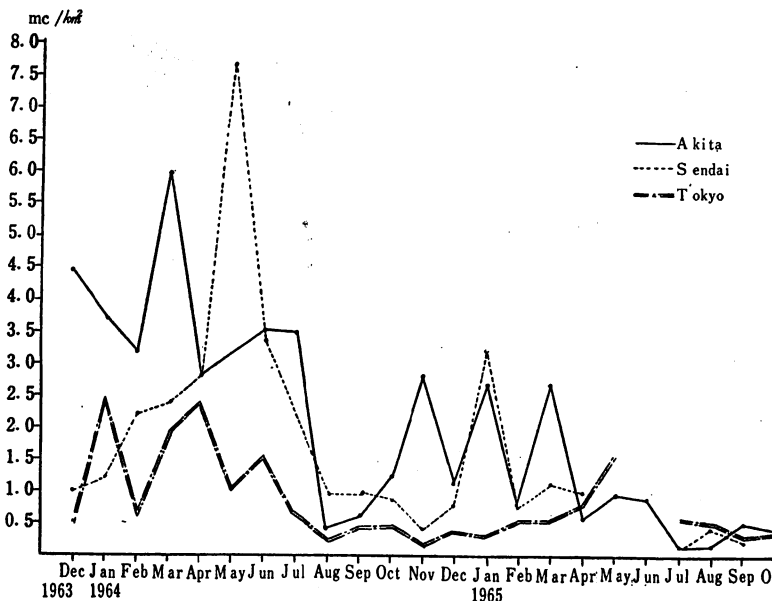
第6図 土壌および各種食品の全放射能値による年度別比較
(年度別平均値)

次に秋田、仙台、東京で採取した1月間の雨および降下塵埃について、昭和38年12月から40年10月迄の⁹⁰Srおよび¹³⁷Csの含有量を第7図・第8図に示す。これは各衛研が1月間一定の採取した雨および降下塵埃をイオン交換樹脂に吸着せしめ送付した試料について分析化学研究所が分析を行なったもので、分析化学研究所のデータを図示したものである。この図によても解るように、秋田県は総体的に含有量が高くなっているが、核実験が行なわれていなかつたと思われる40年4月頃からは非常に低い含有量を示している。



第7図 Concentration of ⁹⁰Sr in Rain and Dry Fallout at 3 Station.

(Data of Japan Analytical Chemistry Research Institute)



第8図 Concentration of ¹³⁷Cs in Rain and Dry Fallout at 3 Stations

(Data of Japan Analytical Chemistry Research Institute)

VI 結論および考察

以上、陸水各種食品および土壤等の放射能測定成績について述べたが、ソ連、中共等で核爆発実験が行なわれた場合、秋田県の雨水および塵埃に、その影響が著しく

現われるが、平常時においては殆ど問題にする程の放射能汚染は認められていない。更に上水、牛乳、野菜、米、土壤等における放射能値は低下しているが、魚貝類が増加の傾向にあることより推定し、海洋の汚染と云う事に一層今後注目すべきではないかと考えられる。